



БИООРГАНИЧЕСКАЯ ХИМИЯ

том 7 * № 9 * 1981

УДК 541.143+547.963.4.04

АКЦЕПТОРНЫЙ ОСТАТОК ЛИЗИНА ПРИ ФОТОИНДУЦИРОВАННОЙ МИГРАЦИИ РЕТИНАЛЯ В БАКТЕРИОРОДОПСИНЕ

*Родионов А. В., Баирамашвили Д. И., Куделин А. Б.,
Фейгина М. Ю., Шкроб А. М., Овчинников Ю. А.*

*Институт биоорганической химии им. М. М. Шемякина
Академии наук СССР, Москва*

Установлено, что фотоиндуцированная миграция ретиналя в бактериородопсине из *Halobacterium halobium* сопровождается образованием альдимина с ε-аминогруппой остатка Lys²¹⁶. Этот же остаток лизина являетсяносителем простетической группы в аналоге бактериородопсина – хромопротеиде, полученным взаимодействием бактериородопсина с тетраеналем *n*-CH₃O₂C₆H₄(CH=CH)₂CHO. Таким образом, этот хромопротеид можно рассматривать как модель метастабильной формы, возникающей при фотопревращениях бактериородопсина.

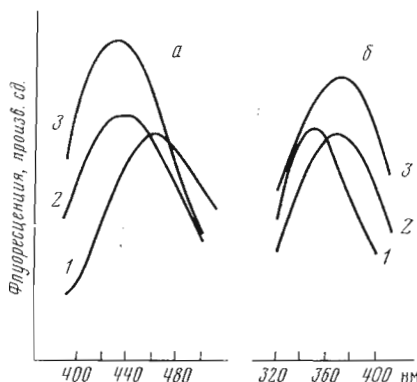
Бактериородопсин – ретинальсодержащий белок из *Halobacterium halobium* – функционирует в клеточной мембране в качестве зависимого от света протонного насоса [1–4]. Ретиналь в бактериородопсине образует с лизинорганической ε-аминогруппой альдимиц, который в определенных условиях может быть восстановлен боргидридом или циапоборгидридом натрия в соответствующий ретиниламин [1, 5]. Недавно было показано, что восстановление альдимина в бактериородопсине на свету и в темноте приводит к белкам, содержащим остатки N^ε-ретишиллизина в разных участках пептидной цепи [5]. Эти данные явились прямым экспериментальным подтверждением ранее высказанной гипотезы о N→N-миграции ретиналя как возможной стадии фотохимического и/или транспортного цикла бактериородопсина [6]. С другой стороны, оказалось, что в фотохимически активных аналогах бактериородопсина, содержащих вместо ретиналя некоторые арилполиенали, последние, в зависимости от строения, образуют альдимины с разными остатками лизина [7].

Настоящая работа была предпринята с целью установить, какой именно лизиновый остаток является акцептором ретиналя при его обратимой фотоиндуцированной миграции в бактериородопсине, и проверить, образует ли этот остаток в аналогах бактериородопсина альдимин с арилполиеналиями*.

Для решения этих задач в качестве основного метода использовалось расщепление предварительно восстановленного хромопротеида бромцианином с последующим выделением и идентификацией ретинил- или арилалкенилсодержащих пептидов. Предварительные опыты с использованием

* Принятые сокращения: ВЭЖХ – высокоэффективная жидкостная хроматография.
* Предварительное сообщение о результатах данной работы см. [7].

Рис. 1. Спектры испускания (а) и возбуждения (б) флуоресценции растворов ретинильных производных в 50% водном пиридине: 1 — N^ε-ретиниллизин, 2 — N^ε-ретиниллизин после 24 ч инкубации в 70% муравьиной кислоте (20° С), 3 — фракция Б, выделенная при ВЭЖХ продуктов бромцианового расщепления ретинил-бактериопсина



ретинильных производных октадециламина и лизина показали, что обработка бромцианом вызывает отщепление сравнительно небольшой доли ретинильных остатков (менее 20%), однако сказывается на спектральных характеристиках ретинильного хромофора. Инкубация модельных соединений в 70% муравьиной кислоте, практически независимо от присутствия бромциана, сопровождается некоторым уширением полосы поглощения и гипсохромным сдвигом полосы в спектре испускания флуоресценции (рис. 1). Эти спектральные изменения, по-видимому, обусловлены возникновением равновесного набора конформационных изомеров при H⁺-катализируемых Z → E-превращениях в полиеновой цепи.

На рис. 2 представлены результаты высокоэффективной жидкостной хроматографии (ВЭЖХ) на обращенной фазе продуктов бромцианового расщепления ретинил-бактериопсина, который был получен восстановлением бактериородопсина боргидридом натрия на свету при pH 10. В этих условиях большая часть ретинильных остатков локализована на лизиновых ε-аминогруппах, служащих акцепторами ретиналя при его миграции [5]. Независимо от состава элюента, формы градиента и длины углеводородных цепей носителя (C₄ или C₈) обнаруживаются только две фракции, имеющие характерное для ретиниламинов поглощение при 330 нм.

Одна из этих фракций (А), обладающая незначительным поглощением при 330 нм, судя по дальнейшим деградации по Эдману, содержит пептид, включающий в себя остатки 33–56. Этот пептид образуется из тех молекул бактериородопсина, в которых при восстановлении ретинильный остаток оказался локализованным на Lys⁴¹ (ср. [8]).

Результаты аминокислотного анализа и деградации по Эдману показывают, что другая фракция (Б) содержит C-концевой пептид, включающий в себя остатки 210–248, и в качестве примеси около 10% пептида с остатками 164–209. Фракция Б обладает спектрами поглощения и флуоресценции, характерными для ретиниламинов, инкубированных в муравьиной кислоте (см. рис. 1). Если при восстановлении бактериородопсина использовать бортритид натрия, то в этой фракции концентрируется значительная доля радиоактивности, присущей исходной смеси продуктов бромцианового расщепления. Ни хромофор, ни носители радиоактивности не могут быть отделены от пептида экстракцией органическими растворителями.

Чтобы убедиться, что ретинильный остаток действительно ковалентно связан с C-концевым пептидом, а не с пептидом 164–209 или с другой примесью, не поддающейся экстракции, вышеописанные операции были повторены с бактериородопсином, у которого перед восстановлением C-концевая область (остатки 232–248) была удалена с помощью папапана (ср. [9]). В этом случае на хроматограмме фракции Б отвечает большее время удерживания (ср. кривые 1 и 2 на рис. 3). Как и раньше, эта фракция содержит C-концевой пептид (остатки 210–231), обладает радиоактивностью и имеет спектры, характерные для ретиниламинов, инкубированных в муравьиной кислоте.

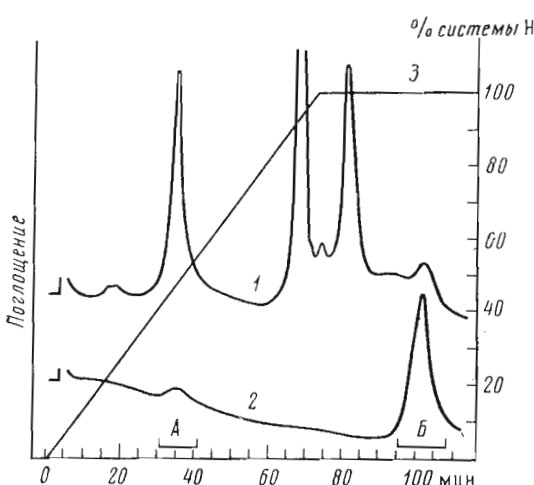


Рис. 2

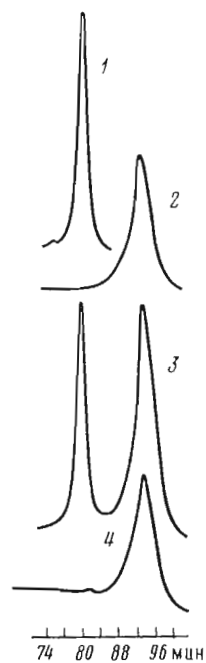


Рис. 3

Рис. 2. Разделение продуктов бромцианового расщепления ретинилбактериоопсина с помощью ВЭЖХ (см. «Экспер. часть»); запись поглощения при 280 (1) и 330 нм (2); 3 — профиль градиента

Рис. 3. Фрагменты хроматограмм продуктов бромцианового расщепления следующих белков (линейный градиент от 0 до 50% системы Н за 20 мин и от 50 до 100% системы Н за 40 мин): 1 — ретинил-бактериоопсин, 2 — ретинил-бактериоопсин с укороченной цепью, 3 — смесь ретинил-бактериоопсинов с нормальной и укороченной цепью, 4 — смесь бактериоопсина и ретинил-бактериоопсина с укороченной цепью; запись поглощения при 330 нм

Если специфическое поглощение, флуоресценция и радиоактивность фракции Б обусловлены избирательной сорбцией на обычном и укороченном С-концевом пептиде некоей примеси, а сами эти пептиды в действительности не содержат ретинильного остатка, естественно ожидать, что подобная, нековалентно связанныя примесь в растворе смеси обоих пептидов будет распределяться между ними. Эта возможность была проверена следующим экспериментом.

Кривая 3 на рис. 3, являющаяся фрагментом хроматограммы смеси продуктов бромцианового расщепления двух белков — ретинил-бактериоопсинов с нормальной и укороченной цепью, свидетельствует о возможности уверенного хроматографического разделения обеих фракций Б. Кривая 4 на рис. 3 отвечает смеси продуктов расщепления нативного бактериоопсина и ретинил-бактериоопсина с укороченной цепью. В отдельных опытах было показано, что время удерживания С-концевого пептида, образующегося из бактериоопсина, практически не зависит от того, присутствует ли в последнем ретинильный остаток. Если бы произошло указанное выше перераспределение примесей между нормальным и укороченным С-концевыми пептидами, на кривой 4 был бы не один, а два пика. Этого, однако, не происходило независимо от того, как долго инкубировали в муравьиной кислоте смеси продуктов расщепления двух белков перед хроматографическим разделением.

Таким образом, полученные данные свидетельствуют о том, что во фракциях Б ретинильный остаток ковалентно связан с С-концевыми пептидами.

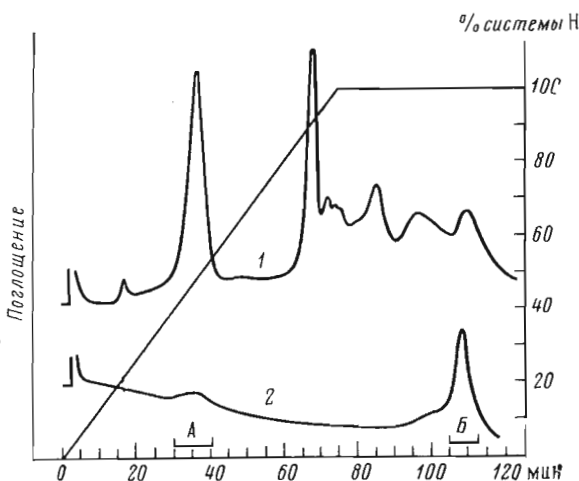


Рис. 4. Разделение продуктов бромцианового расщепления восстановленного хромопротеида, который был получен из бактериоопсина и тетраенала $\text{CH}_3\text{OC}_6\text{H}_4(\text{CH}=\text{CH})_4\text{CHO}$, с помощью ВЭЖХ; запись поглощения при 280 (1) и при 340 нм (2)

Исходя из того, что эти фракции по своим спектральным характеристикам подобны модельным ретиниламинам, инкубированным в муравьиной кислоте, можно заключить, что С-концевые пептиды 210–248 и 210–231 содержат остаток N^ε-ретиниллизина. Отсюда следует, что Lys²¹⁶, который является единственным лизиновым остатком в обоих пептидах, может быть акцептором ретиналя при его фотоиндуцированной миграции в бактериородопсине. Если исходить из предположения, что остатки Lys⁴¹ и Lys²¹⁶, между которыми мигрирует ретиналь (ср. [5]), пространственно сближены, полученные данные указывают на соседство второго и седьмого (считая от N-конца) спиральных сегментов в молекуле бактериородопсина (ср. [10]).

Аналогичные эксперименты были выполнены с фотохимически активным аналогом бактериородопсина, содержащим в качестве простетической группы алльдимин тетраенала $n\text{-CH}_3\text{OC}_6\text{H}_4(\text{CH}=\text{CH})_n\text{CHO}$. Ранее было показано, что при восстановлении этого хромопротеида боргидридом или цианоборгидридом натрия в темноте арилалкенильный остаток оказывается локализованным преимущественно на фрагменте цепи 72–248 [7]. Хроматографическое разделение продуктов бромцианового расщепления как самого арилалкенил-бактериоопсина, так и несущего арилалкенильный остаток фрагмента 72–248 показало, что и в этом случае арилалкениламинные хромофоры присутствуют в основном во фракции Б (рис. 4) и ковалентно связаны с находящимся в этой фракции С-концевым пептидом.

Таким образом, остатки Lys²¹⁶, с одной стороны, связаны с ретиналем в одной из метастабильных форм бактериородопсина, возникающих из последнего под действием света, а с другой — образуют алльдимин в аналоге бактериородопсина. Этот результат демонстрирует возможность получения из бактериоопсина таких хромопротеидов, которые моделируют не только сам бактериородопсин, сколько короткоживущие промежуточные формы его фотохимического цикла.

В хромопротеидах, образуемых бактериоопсипом и алльдегидами общей формулы $n\text{-CH}_3\text{OC}_6\text{H}_4(\text{CH}=\text{CH})_n\text{CHO}$ ($2 \leq n \leq 5$), уменьшение длины полиеновой цепи приводит к постепенному возрастанию доли арилалкенилиденовых остатков, связанных с Lys⁴¹ [7]. Ясно, что у таких хромопротеидов в темноте различа в энергиях, отвечающих состояниям белка с различной локализацией простетической группы, существенно меньше, чем у

бактериородопсина. Ранее было показано, что большая термодинамическая устойчивость альдимина ретиналя в нативном бактериородопсинге обеспечивается исключительно высоким значением его pK_a [11]. С этой точки зрения указанное уменьшение разницы в энергиях может быть обусловлено относительной малой основностью альдиминов в модельных хромопротеинах [7]. С другой стороны, фотоиндуцированное уменьшение pK_a альдимина в бактериородопсинге также должно дестабилизировать этот альдимин и, по-видимому, может служить движущей силой миграции ретиналя. Эта миграция, очевидно, может протекать не только как следствие непосредственного присоединения аминогруппы по $C=N$ -связи, но и в результате взаимодействия этой аминогруппы с альдегидом, ранее образовавшимся при гидролизе исходного альдимина (ср. [6]). Сейчас необходимо установить, является ли миграция ретиналя необходимым элементом работы бактериородопсина, или же она обнаруживается из-за того, что гидриды атакуют альдимин в некоей минорной форме, возникающей побочно к основному фотохимическому циклу.

Экспериментальная часть

Пурпурные мембранны выделяли из клеток *H. halobium* R1 по методике, описанной в работе [1]. Мембранны, содержащие хромопротеид с остатком тетраенала $CH_3OC_6H_4(CH=CH)_4CHO$, получали согласно работе [7]. В этой же работе описаны использованные методы расщепления хромопротеина на два фрагмента с помощью химотрипсина, а также восстановление в нем альдиминной группы боргидридом и цианоборгидридом натрия. Разделение фрагментов расщепленного хромопротеина после его восстановления выполняли согласно методике, приведенной в работе [12]. Отщепление от бактериородопсина C-концевого участка обработкой пурпурных мембран папаином проводили в условиях, описанных в работе [9]. Контроль за полнотой этого процесса осуществляли с помощью электрофореза на градиентных полиакриламидных пластинках PAA 4/30 (Pharmacia, Швеция) в присутствии 0,1% додецилсульфата натрия. Фотоиндуцированное восстановление альдимина ретиналя в бактериородопсинге проводили согласно работе [5] при pH 10 ($20^\circ C$). Полностью обесцвечивающуюся суспензию мембран освобождали от солей многократной промывкой водой и осаждением мембран центрифугированием, а затем подвергали лиофильной сушке.

В работе без дополнительной очистки использовали *L*-лизин (Reanal, ВНР), октадециламиц (Chemapol, ЧССР), бромциан, боргидрид и цианоборгидрид натрия (Merck, ФРГ), химотрипсин и папаин (Worthington, Англия), бортритид натрия (Amersham, Англия; 9,6 Кн/ммоль), а также следующие растворители: изопропанол для УФ-спектроскопии (Chemapol, ЧССР), этанол марки ос. ч и муравьиную кислоту (Merck, ФРГ). Для приготовления растворов использовали соли марок х.ч. и ос.ч. и дважды дистиллированную воду. Ацетонитрил марки ч. очищали, встряхивая его несколько часов с перманганатом калия, а затем фильтровали через слой окиси алюминия и подвергали ректификации, собирая фракцию с поглощением менее 0,005 ед./см при 230 нм. Кристаллический полностью-*E*-ретиналь был любезно предоставлен Б. И. Мицинером, а тетраеналь $CH_3OC_6H_4(CH=CH)_4CHO$ — Г. А. Ермаковой и С. М. Макиным (МИТХТ им. М. В. Ломоносова, Москва).

Бромциановое расщепление. При подготовке белков к бромциановому расщеплению лиофилизованные мембранны растворяли в растворе 2% додецилсульфата натрия, белок далее осаждали, разбавляя раствор спиртом или ацетоном (20 : 1), и осадок промывали несколько раз спиртом и водой. Промытый осадок растворяли в минимальном количестве муравьиной кислоты, раствор разбавляли водой (10 : 1) и добавляли к нему водный аммиак вплоть до выпадения осадка, который далее тщательно промывали во-

дой и суспенсировали в спирте. Аликвоту спиртовой супензии белка переносили в реакционный сосуд, упаривали досуха, а остаток суспенсировали в воде и лиофилизовали. Далее белок растворяли в минимальном количестве муравьиной кислоты, раствор разбавляли водой (30% по объему) и вносили в него бромциан (1000 моль на 1 моль белка).

После инкубации реакционной смеси в атмосфере аргона в течение суток при 20° С ее разбавляли спиртом, упаривали досуха, а остаток суспенсировали в воде и лиофилизовали. Полноту расщепления белка контролировали посредством определения дансильным методом N-концевых аминокислотных остатков в образующихся пептидах, а также оценивая содержание нерасщепленного белка с помощью электрофореза в присутствии 0,1% додецилсульфата натрия на градиентных полиакриламидных пластинках. Пептиды, образовавшиеся при бромциановом расщеплении, разделяли ВЭЖХ на колонке «Zorbax C-8» (4,6×250 мм) (Du Pont, США) с помощью насосной системы «Dialagrad 384» (ISCO, США) при расходе элюента 1 мл/мин.

Для контроля за разделением использовали два последовательно соединенных проточных спектрофотометра (Du Pont, США) с объемом ячейки 8 мкл, один из которых измерял поглощение при 280 нм, а другой — при 330 или 340 нм. Образец вводили в виде раствора в муравьиной кислоте (0,75—1 мг в 40—50 мкл), который предварительно выдерживали не менее 3 ч при 20° С. Для элюирования использовали градиент из систем L (ацетонитрил — муравьиная кислота, 97 : 3, по объему) и H (этанол — изопропанол — муравьиная кислота, 50 : 47 : 3, по объему), форма которого указана на рисунках. Непосредственно перед разделением колонку промывали системой L и смесью этанол — муравьиная кислота (97 : 3, по объему) несколькими циклами по 5—10 мин каждый, в ходе которых происходила плавная замена одной из этих систем на другую. Эта процедура улучшает разделение пептидов, способствует его воспроизводимости и увеличивает выход до 25—30%. Гомогенность и строение выделенных пептидов проверены определением N-концевых остатков дансильным методом, а также 4—6 шагами деградации по Эдману. Во фракциях Б содержание аминокислот из примесных пептидов (тирофил), по данным аминокислотного анализа, не превышало 20% от содержания валина, два остатка которого присутствуют в C-концевых пептидах.

N^ε-Ретиниллизин получали взаимодействием в 95% метаноле лизина и *полностью-E*-ретиналя (1,5 моль на 1 моль лизина), контролируя достижение равновесия реакции спектрофотометрически. Реакционную смесь упаривали в вакууме, остаток экстрагировали ацетоном, а затем растворяли в метаноле и прибавляли избыток боргидрида натрия. Реакционную смесь далее нейтрализовали уксусной кислотой, упаривали в вакууме и подвергали ТСХ на силикательных пластинках (Merck, ФРГ) в системе хлороформ — метанол — трифтормукусная кислота, 5 : 3 : 0,04, по объему. Зону *N^ε-ретиниллизина* (*R*, 0,14) обнаруживали по характерной флуоресценции и реакцией с нингидрином. Инкубация ретиниллизина в муравьиной кислоте практически не оказывается на его хроматографической подвижности.

ЛИТЕРАТУРА

1. Oesterhelt D., Stoeckenius W. Rhodopsin-like protein from the purple membrane of *Halobacterium halobium*. — Nature New Biol., 1971, v. 233, № 39, p. 149—152.
2. Ovchinnikov Yu. A., Abdulaev N. G., Feigina M. Yu., Kiselev A. V., Lobanov N. A. The structural basis of the functioning of bacteriorhodopsin: an overview. — FEBS Lett., 1979, v. 100, № 2, p. 219—224.
3. Henderson R., Unwin P. N. T. Three-dimensional model of purple membrane obtained by electron microscopy. — Nature, 1975, v. 257, № 5521, p. 28—32.
4. Stoeckenius W., Lozier R. H., Bogomolni R. A. Bacteriorhodopsin and the purple membrane of halobacteria. — Biochim. et biophys. acta, 1979, v. 505, № 3—4, p. 215—278.

5. Овчинников Ю. А., Абдулаев Н. Г., Цетлин В. И., Киселев А. В., Закис В. И. Миграция альдиминной связи в процессе фотохимического цикла бактериородопсина.— Биоорган. химия, 1980, т. 6, № 9, с. 1427–1429.
6. Шкроб А. М., Родионов А. В., Овчинников Ю. А. Обратимый фотоиндуцированный гидролиз альдимина ретиналия в солюбилизированном бактериородопсине.— Биоорган. химия, 1978, т. 4, № 3, с. 354–359.
7. Шкроб А. М., Родионов А. В., Овчинников Ю. А. Ароматические аналоги бактериородопсина.— Биоорган. химия, 1981, т. 7, № 8, с. 1169–1194.
8. Bridgen J., Walker I. D. Photoreceptor protein from the purple membrane of *Halobacterium halobium*. Molecular weight and retinal binding site.— Biochemistry, 1976, v. 15, № 4, p. 792–798.
9. Abdulaev N. G., Feigina M. Yu., Kiselev A. V., Ovchinnikov Yu. A., Drachev L. A., Kaulen A. D., Khitrina L. V., Skulachev V. P. Products of limited proteolysis of bacteriorhodopsin generate a membrane potential.— FEBS Lett., 1978, v. 90, № 2, p. 190–194.
10. Engelman D. M., Henderson R., McLachlan A. D., Wallace B. A. Path of the polypeptide in bacteriorhodopsin.— Proc. Nat. Acad. Sci. USA, 1980, v. 77, № 4, p. 2023–2027.
11. Шкроб А. М., Родионов А. В. Щелочная денатурация бактериородопсина в пурпурных мембрanaх.— Биоорган. химия, 1978, т. 4, № 3, с. 360–368.
12. Gerber G. E., Anderegg R. J., Herlihy W. C., Gray C. P., Biemann K., Khorana H. G. Partial primary structure of bacteriorhodopsin: sequencing methods for membrane proteins.— Proc. Nat. Acad. Sci. USA, 1979, v. 76, № 1, p. 227–231.

Поступила в редакцию
23.IV.1981

ACCEPTOR LYSINE RESIDUE IN THE LIGHT-INDUCED RETINAL MIGRATION IN BACTERIORHODOPSIN

RODIONOV A. V., BAIRAMASHVILI D. I., KUDELIN A. B.,
FEIGINA M. Yu., SHKROB A. M., OVCHINNIKOV Yu. A.

*M. M. Shemyakin Institute of Bioorganic Chemistry, Academy
of Sciences of the USSR, Moscow*

Illumination of the purple membrane from *Halobacterium halobium* results in the migration of the retinal in bacteriorhodopsin molecules onto the Lys²¹⁶ residue. The same lysine residue is the carrier of the prosthetic grouping in the dark form of chromoprotein formed by bacterioopsin with the tetraenal $p\text{-CH}_3\text{OC}_6\text{H}_4(\text{CH}=\text{CH})_4\text{CHO}$. It is supposed that this chromoprotein can serve as a model of some transient intermediate of the bacteriorhodopsin photocycle.